

# طراحی و ساخت موتور خطی جریان مستقیم

یوسف حجت<sup>۱\*</sup>، محمد کریمی<sup>۲</sup>، محسن بهرامی<sup>۳</sup>، امیرعبدالله<sup>۴</sup>

۱- استادیار گروه ساخت و تولید، دانشکده فنی و مهندسی، دانشگاه تربیت مدرس

۲- کارشناس ارشد ساخت و تولید، دانشکده فنی و مهندسی، دانشگاه تربیت مدرس

۳- استاد گروه طراحی جامدات، دانشکده مهندسی مکانیک، دانشگاه صنعتی امیرکبیر

۴- استادیار گروه ساخت و تولید، دانشکده مهندسی مکانیک، دانشگاه صنعتی امیرکبیر

\*تهران صندوق پستی ۱۴۳-۱۴۱۱۵

yhojjat@modares.ac.ir

(دریافت مقاله: فروردین ۱۳۸۳، پذیرش مقاله: فروردین ۱۳۸۵)

**چکیده**- در این مقاله، طراحی و ساخت نوعی موتور خطی جریان مستقیم با آهنربای دائمی بررسی می‌شود، که از نوع تخت با آهنربای متحرک است. این موتور ساختار بسیار ساده‌ای دارد و بنابراین کنترل آن بسیار ساده است. در این طرح، نیروی رانش بر اثر قرار گرفتن سیم حامل جریان در میدان مغناطیسی آهنربای دائم ایجاد می‌شود. در ساخت این موتور از آهنربای دائمی از نوع ساخته شده با عناصر کمیاب خاکی استفاده می‌شود که قویترین آهنربا در حال حاضر است، بهمین علت این موتور بازده بالایی دارد. برای تخمین اولیه پارامترهای هندسی مانند ابعاد آهنربا و سیم‌پیچ از معادلات ساده شده ریاضی و برای تحلیل دقیق از روش اجزای محدود استفاده شده است. نتایج تجربی و مقایسه آن با نتایج حاصل از تحلیل اجزای محدود، بیانگر تطابق خوب این روش تحلیل با نتایج تجربی است.

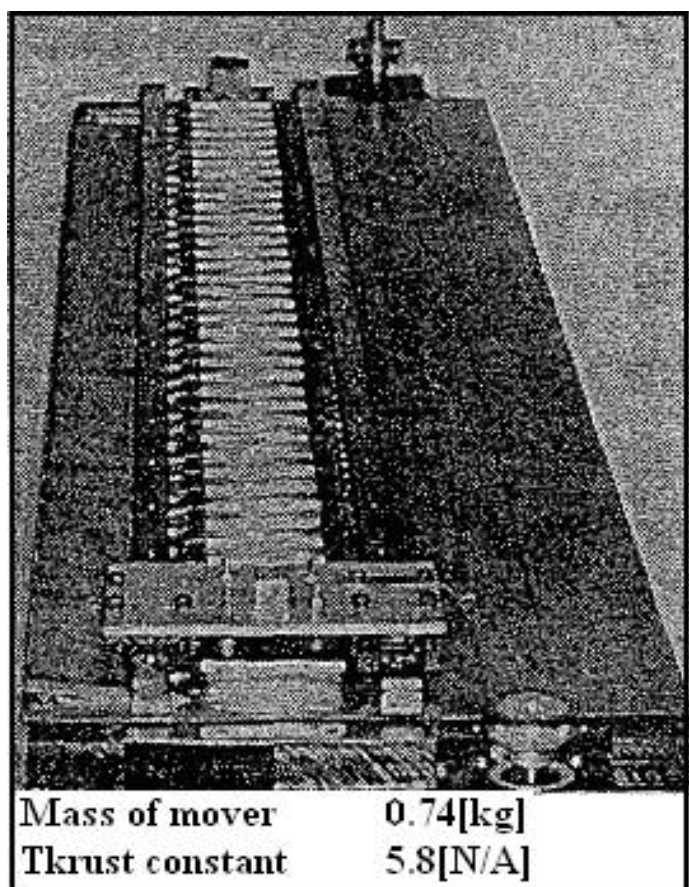
**کلید واژگان:** موتور خطی، جریان مستقیم، آهنربای دائم.

مکانیزم‌های مختلفی مانند پیچ و مهره، چرخ زنجیر یا چرخدنده شانه‌ای، می‌توان حرکت خطی را ایجاد کرد. اما با نگاهی به مسیر انتقال حرکت، می‌توان دریافت که برای تبدیل حرکت دورانی موتور به حرکت خطی، از عناصر مکانیکی مختلفی استفاده می‌شود. با مقایسه دو سیستم استفاده کننده از موتور خطی و موتور دورانی برای ایجاد حرکت خطی می‌توان به نکات زیر رسید:

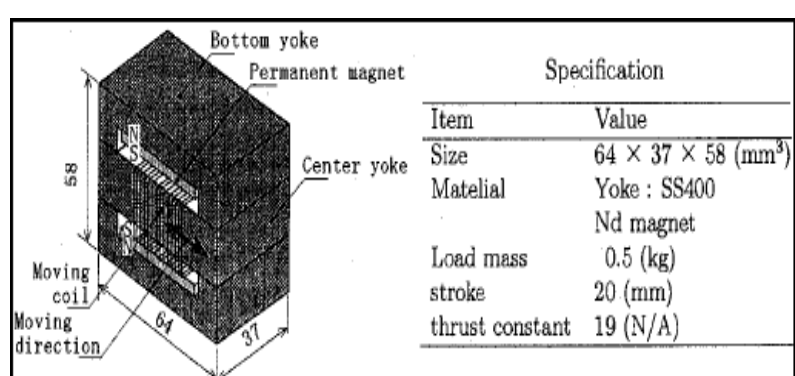
- در مکانیزم‌های تبدیل حرکت دورانی به حرکت خطی معمولاً از جعبه دنده استفاده می‌شود که خطای لقی و خطای الاستیک دارند. اما در موتورهای خطی چنین خطاهایی وجود ندارد.

۱- **مقدمه** در موارد بسیاری از موتورهای خطی در ماشینهای مخصوص - که استفاده از نوع دورانی آن با مشکلات خاصی روبروست - استفاده می‌شود. همچنین زمانی که سرعتهای جابه‌جایی بزرگی مدنظر باشد یا تغییر شکل الاستیک اجزا باعث کاهش دقت شود، کاربرد موتورهای خطی ضرورت می‌یابد. استفاده در سیستمهای تسمه نقاله، حمل و نقل مواد، ذخیره‌سازی، جابه‌جایی انسانها، پمپ کردن فلز در حالت مایع، شتاب‌دهنده‌ها و پرتاب‌کننده‌ها، ماشینهای ابزار و قطارهای سریع السیر، برخی از کاربردهای موتورهای خطی است. با استفاده از موتورهای دورانی و

در همین سال در ژاپن، یاجیما<sup>2</sup> و همکاران در دانشگاه شینسو<sup>3</sup> نوعی موتور خطی جریان مستقیم را تکمیل و ارائه کردند که نسبت ثابت نیروی رانش به جرم بسیار بالایی داشت (38 نیوتن بر آمپر بهازی واحد جرم متحرک). طرح ساده‌ای از این موتور همراه با برخی مشخصات آن در شکل 2 مشاهده می‌شود [4].



شکل 1 موتور خطی جریان مستقیم ساخته شده در دانشگاه هانینگ سئول (کره جنوبی)



شکل 2 موتور خطی جریان مستقیم ساخته شده در دانشگاه شینسو ژاپن

در ایران، موتور خطی پله‌ای در سال 1380 در دانشکده مهندسی مکانیک دانشگاه صنعتی امیرکبیر مورد

- خصوصیات بهترین پیچ انتقال قدرت عبارت است از سرعتی در محدوده 40-60m/min، حداکثر شتاب 1g، قابلیت تکرارپذیری در حدود 0/01mm و عمری در حدود 8000 ساعت. در حالی که در موتور خطی می‌توان به سرعتی در حدود 360-3000m/min، شتابی تا حدود 10g، قابلیت تکرارپذیری در حدود 0/001mm و عمری در حدود 50000 ساعت دست یافت.

- موتورهای خطی حرکتی کاملاً هموار دارند، در حالی که پیچهای انتقال قدرت به خاطر ارتعاشات ناشی از ورود و خروج ساقمه‌ها به داخل مهره، حرکتی نرم و هموار ندارند. در سیستم‌هایی که از موتور خطی برای تولید حرکت خطی استفاده می‌کنند، محدودیتی در طول دامنه حرکت وجود ندارد، در حالی که در پیچهای انتقال قدرت، محدودیت طول وجود دارد [1].

در سال 1989 در دانشگاه ولز کالج کاردیف انگلستان تحقیقی در زمینه موتور خطی جریان مستقیم با آهنربای دائم انجام شد. مشخصات موتورهای بررسی شده در این تحقیق در جدول 1 آورده شده است [2].

جدول 1 مشخصات موتورهای مطالعه شده در تحقیق دانشگاه کاردیف انگلیس

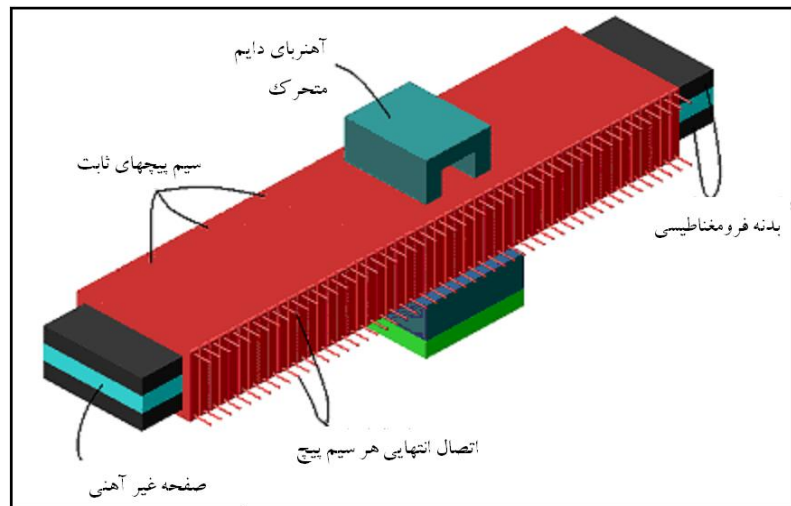
موتور 3	موتور 2	موتور 1	موتورها پارامترها
23/7	12	8	طول متحرک (cm)
13/2	13/2	13/2	قطر خارجی (cm)
4/77	2/75	1/73	وزن متحرک (kg)

در سال 1997 جین‌هور<sup>1</sup> و همکاران در دانشگاه هانینگ سئول در کره جنوبی، نوعی موتور خطی جریان مستقیم را ساخته و ارائه کردند که نسبت ثابت نیروی رانش به جرم برابر 7/84 نیوتن بر آمپر بهازی واحد جرم متحرک داشت (شکل 1) [3].

1. Jin Hur

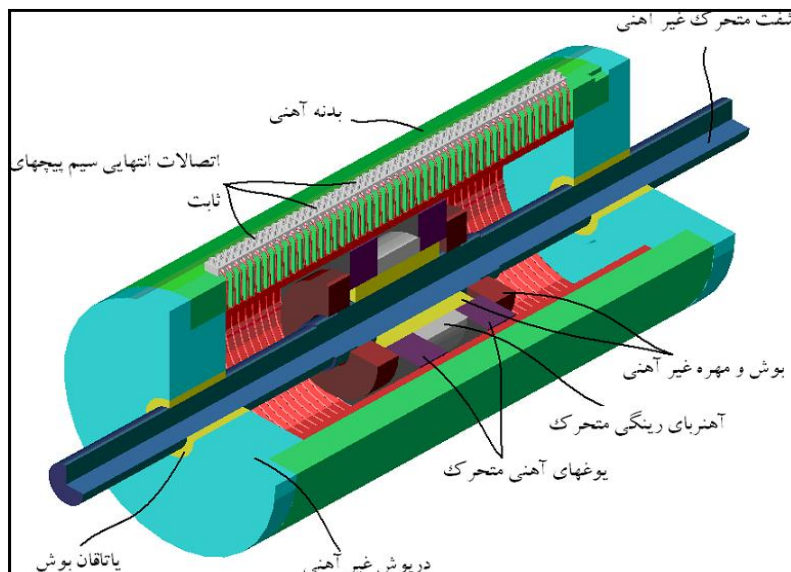
2. Yajima  
3. Shinsu

در این حالت نیروی وارد شده از طرف میدان در دو رسانا همجهت بوده و یکدیگر را تقویت می‌کنند. براساس این طرح دو بعدی، طرحهای مختلفی را می‌توان ارائه کرد که در ادامه بررسی می‌شود. اگر این طرح دو بعدی در امتداد خط راست گسترش داشته باشد، طرح موتور خطی تخت به دست می‌آید (شکل 5).



شکل 5 موتور تخت خطی جریان مستقیم با استفاده از سیم پیچ و دو صفحه غیر آهنی

طرح فوق نوع دیگری از موتورهای خطی را در ذهن تداعی می‌کند که موتورهای لوله‌ای نامیده می‌شوند. اگر طرح دو بعدی مذبور به جای اینکه در طول خط راست گسترش داشته باشد، حول محوری مرکزی گسترش داشته باشد، موتور خطی لوله‌ای به وجود می‌آید. میدان مغناطیسی در این موتور ممکن است به وسیله آهنربای دائمی شکل 6 یا سیم پیچ تحریک تولید شود، (شکل 7).

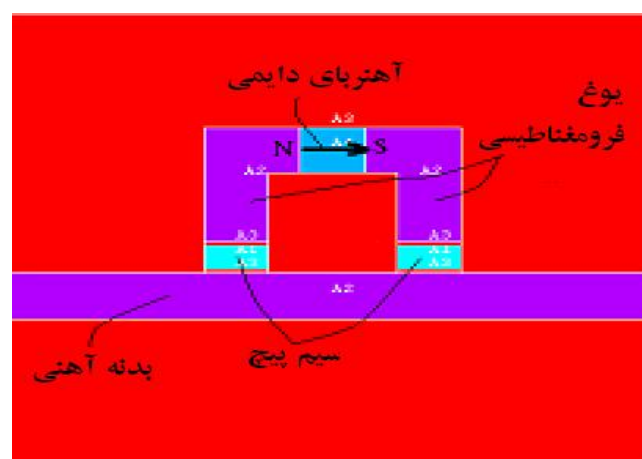


شکل 6 موتور لوله‌ای خطی جریان مستقیم با آهنربای دائمی

مطالعه قرار گرفته و ساخته شد [5]. موتور خطی القایی نیز در سال 1381 در دانشکده مهندسی برق دانشگاه صنعتی امیرکبیر طراحی و ساخته شد [6].

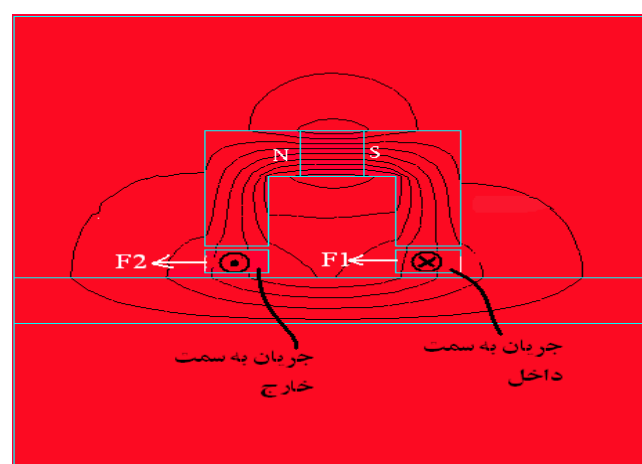
## 2- ارائه مدل‌های مختلف برای طراحی و ساخت موتور خطی جریان مستقیم

اگر سیم حامل جریان در میدان مغناطیسی قرار گیرد، بر سیم نیرویی وارد می‌شود که جهت آن مطابق قانون دست راست، عمود بر جهت میدان و جریان است. براساس این اصل می‌توان طرحهای بسیاری را برای موتور خطی ارائه داد. طرحی که در اینجا بررسی می‌شود، نوعی مدار مغناطیسی شامل آهنربای دائمی، رسانای حامل جریان و یوغهایی از جنس مواد فرومغناطیس برای تکمیل مدار مغناطیسی است (شکل 3).



شکل 3 طرحواره دو بعدی طرح ارائه شده

در این طرح با استفاده از مواد فرومغناطیسی، شار مغناطیسی آهنربا به مکان مناسب یعنی محل رسانای هدایت شده و در نتیجه اثر این میدان بر رسانای حامل جریان، نیرو تولید می‌شود (شکل 4).



شکل 4 چگالی شار مغناطیسی و جهت نیروها

### 3- نتایج محاسبه و تحلیل الکترومغناطیسی موتور خطی جریان مستقیم

#### 1-3- تخمینهای اولیه

##### 1-1-3- چگالی شار مغناطیسی در فاصله هوایی

برای محاسبه نیرو براساس قانون آمپر، ابتدا باید چگالی شار مغناطیسی در فاصله هوایی محاسبه شود. مدار مغناطیسی مورد بحث، شامل آهنربای دائم مکعب مستطیل شکل به ابعاد ارتفاع  $h_M$ ، عرض  $w_M$  و طول  $l_M$  دو یوگ فولاد کم کربن با طول  $2l_{Fe}$  و فاصله هوایی  $g$  است. با توجه به قانون مدار بسته آمپر می‌توان نوشت [7]:

$$H_M h_M = H_g g + 2H_{Fe} l_{Fe} \quad (1)$$

$$= H_g g \left( 1 + \frac{2H_{Fe} l_{Fe}}{H_g g} \right)$$

که  $H_g$ ،  $H_{Fe}$  و  $H_M$  شدت میدان مغناطیسی در فاصله هوایی، یوغهای آهنی و آهنربای دائم است. با فرض بینهایت بودن نفوذ پذیری هسته و با صرفنظر کردن از نشتی شار آهنربای دائم به بیرون، چگالی شار مغناطیسی  $B$  یکنواخت بوده و با درنظر گرفتن مقادیر جبری در معادله (1) می‌توان نوشت:

$$H_M h_M + H_g g = 0 \quad (2)$$

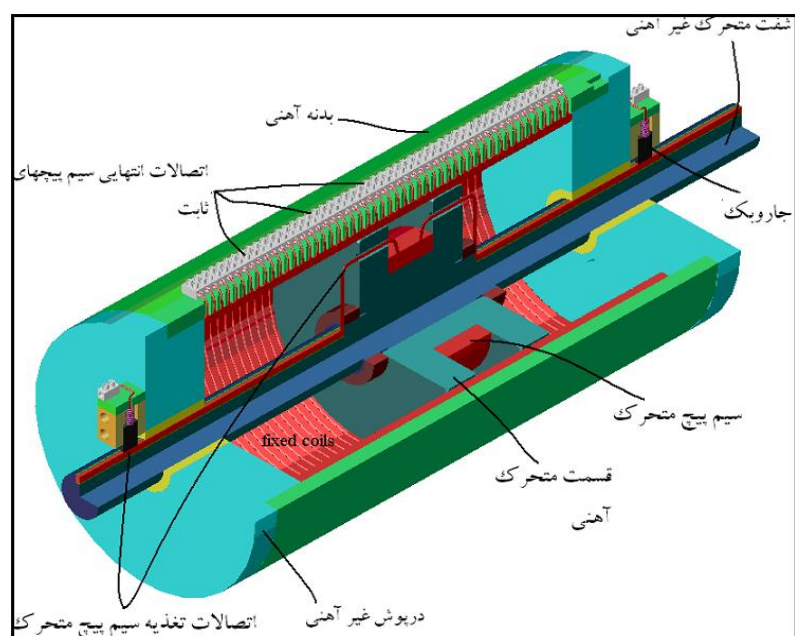
$$\Rightarrow H_g = -\frac{h_M}{g} H_M$$

با صرفنظر کردن از پدیده لبه و اثر گوشه‌ها، چگالی شار مغناطیسی  $B$  یکنواخت بوده و داریم:

$$B = -\mu_0 \frac{h_M}{g} H_M \quad (3)$$

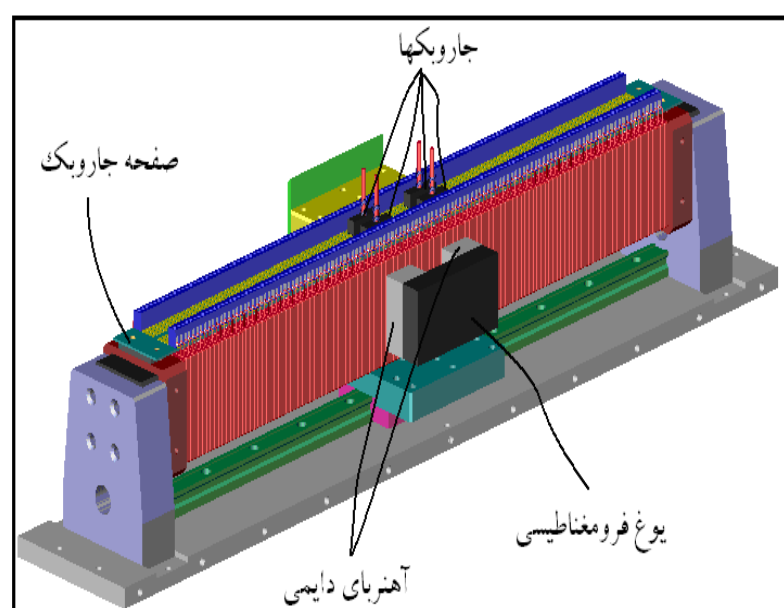
معادله (3) مشخصه فاصله هوایی مدار مغناطیسی را نشان می‌دهد. نقطه کار سیستم، محل برخورد مشخصه فاصله هوایی و مشخصه آهنربای دائم است. آهنربای به کار رفته در موتور از نوع عناصر کمیاب خاکی بوده و مشخصهای خطی به صورت زیر دارد [7]:

$$B = B_r + \frac{B_r}{H_c} H_M \quad (4)$$



شکل 7 موتور لوله‌ای خطی با استفاده از سیم پیچ تحریک

علاوه بر معیارهای الکترومغناطیسی، عوامل دیگری نیز در طراحی موتور مؤثر است. یکی از این موارد وسائل جانبی مورد نیاز مانند سنسورها و اتصالات الکتریکی برای راهاندازی موتور می‌باشد. یکی دیگر از عواملی که در ارائه طرح نهایی تأثیر به سزایی دارد، محدودیت مواد اولیه موجود و قابل دسترس است. به عنوان مثال فقط یک نوع آهنربای دائمی از نوع عناصر کمیاب خاکی موجود است که طراحی نهایی ما نیز بر مبنای آن انجام شده است. با توجه به ابعاد این آهنربا و تأکید بر پرهیز از هر نوع عملیات ماشینکاری به علت اثر منفی آن بر خواص مغناطیسی، درنهایت از طرح موتور تخت استفاده شد (شکل 8).



شکل 8 موتور خطی جریان مستقیم با آهنربای دائمی

$I_{eq}$  متناسب با جریان عبوری از سیم‌پیچ، تعداد دور سیم‌پیچ و تعداد سیم‌پیچهایی است که درون میدان مغناطیسی قرار گرفته‌اند:

$$I_{eq} = (Nl)n \quad (A) \quad (10)$$

$N$  تعداد دور سیم‌پیچ،  $I$  جریان عبوری از سیم‌پیچ و  $n$  تعداد سیم‌پیچهای درون میدان مغناطیسی است:

$$n = \frac{w_M}{w_c} \quad (11)$$

$w_c$  عرض سیم‌پیچ و  $w_M$  عرض آهنربا است.  $w_c$  متناسب با فضای موجود برای سیم‌پیچ در فاصله هوازی بوده و با قطر مفتول رسانا نسبت معکوس دارد. با توجه به ضخامت عایق روی مفتول، مقطع دایروی آن و فضای خالی که بین سیمهای ایجاد می‌گردد، سطح مقطع مؤثر سیم‌پیچ معمولاً نصف مساحت فضای اشغال شده بهوسيله آن درنظر گرفته می‌شود [4] بنابر اين:

$$A_{eff} = NA_c = \frac{1}{2} w_c g \quad (12)$$

که در آن  $A_c$  مساحت مقطع مفتول مسی است. با

$$\text{توجه به } A_c = \frac{\pi d_c^2}{4} \text{ داریم:}$$

$$N = \left[ \frac{2w_c g}{\pi d_c^2} \right] \quad (13)$$

جریان هر سیم‌پیچ از رابطه  $I = JA_c$  بهدست می‌آید که در آن  $J$  چگالی جریان بوده و بیشترین مقدار آن  $5A/mm^2$  درنظر گرفته می‌شود [8].

مقدار  $I$  بهازای هر آهنربا برابر طول آهنربا یعنی  $l_M$  است.

بنابراین برای بهدست آوردن نیروی رانش استاتیکی موتور با توجه به وجود چهار آهنربا،  $l_M = 4l$  درنظر گرفته می‌شود.

با توجه به معادلات فوق نیروی رانش استاتیکی در موتور را می‌توان به صورت زیر نوشت:

$$F = \left( \left[ \frac{w_c g}{2A_c} \right] JA_c \right) \frac{w_M}{w_c} 4l_M \times \frac{B_r}{1 + \frac{g}{\mu_0 h_M} \cdot \frac{B_r}{H_c}} \quad (N) \quad (14)$$

$$H_M = -\frac{g}{\mu_0 h_M} B \quad (5)$$

و از معادلات (4) و (5):

$$B = B_r + \frac{B_r}{H_c} \cdot \left( -\frac{g}{\mu_0 h_M} \right) B \quad (6)$$

در نهایت چگالی شار مغناطیسی در فاصله هوازی به صورت معادله (7) به دست می‌آید:

$$B = \frac{B_r}{1 + \frac{g}{\mu_0 h_M} \cdot \frac{B_r}{H_c}} \quad (T) \quad (7)$$

که در آن  $B_r$  چگالی شار مغناطیسی پسماند،  $H_c$  مقاومت میدان اجباری آهنربای دائم،  $g$  فاصله هوازی،  $l_M$  ضریب نفوذپذیری هوا و  $h_M$  ضخامت آهنربا است. چگالی شار مغناطیسی در فاصله هوازی با افزایش چگالی شار مغناطیسی پسماند ( $B_r$ )، مقاومت میدان اجباری ( $H_c$ ) و  $h_M$  ضخامت آهنربا افزایش یافته و با افزایش فاصله هوازی  $g$  کاهش می‌یابد.

### 2-1-3- محاسبه نیروی رانش استاتیکی

نیروی وارد شده از طرف میدان مغناطیسی بر رسانای غیرمغناطیسی حامل جریان الکتریکی، از رابطه لورنتز به دست می‌آید [7]:

$$\vec{F} = \left( \oint_S \vec{J} \times \vec{B} ds \right) l \quad (N) \quad (8)$$

که در آن  $\vec{F}$  نیروی رانش استاتیکی،  $\vec{J}$  چگالی جریان،  $\vec{B}$  چگالی شار مغناطیسی و  $l$  طول مؤثر سیم‌پیچ در میدان مغناطیسی است. انتگرال فوق روی سطح سیم‌پیچها محاسبه می‌شود.

با حل انتگرال فوق، نیروی حاصل از اثر متقابل جریان الکتریکی معادل  $I_{eq}$  عبوری از رسانا به طول  $l$  که در یک میدان مغناطیسی با چگالی شار  $B$  قرار گرفته به صورت زیر ساده می‌شود (قانون آمپر):

$$F = I_{eq} l B \quad (N) \quad (9)$$

$50N$  با استفاده از چگالی جریان  $5A/mm^2$  مقدار  $g$  از معادله (18) به دست می‌آید.

در محاسبات فوق فرضهای ساده‌کننده‌ای استفاده شده است. ضریب نفوذپذیری هسته برابر بینهایت فرض شده و از پدیده لبه و اثر گوشها صرفنظر و چگالی شار مغناطیسی  $B$  در فاصله هوایی یکنواخت درنظر گرفته شده است. همچنین اثر میدان مغناطیسی حاصل از جریان سیم‌پیچ بر چگالی شار مغناطیسی در فاصله هوایی، نادیده انگاشته شده است. بنابراین محاسبات فوق در واقع تخمینهای اولیه‌ای برای شروع طراحی است و پس از ارائه طرح، محاسبات دقیقی به وسیله روش‌های حل عددی مانند روش عناصر محدود باید انجام شود. بدیهی است که با حذف فرضهای ساده‌کننده و ایدئال و با درنظر گرفتن شرایط واقعی نیروی رانش استاتیکی کمتر از مقادیر فوق به دست خواهد آمد.

در اینجا برای حل معادلات فوق و به دست آوردن نیروی رانش الکتریکی در موتور خطی جریان مستقیم، از روش المان محدود و نرم‌افزار انسیس<sup>1</sup> استفاده شده است. با توجه به امکانات این نرم‌افزار، نیروی رانش استاتیکی در هر مدل با سه روش نیروی لورنتز<sup>2</sup> روش تنسور تنش ماکسول<sup>3</sup> و روش کار مجازی<sup>4</sup> محاسبه شده است. این محاسبات با توجه به چگالی جریان  $5A/mm^2$  بر سطح مقطع مؤثر تخمین زده شده رساناهای حامل جریان و مشخصات الکترومغناطیسی مواد استاندارد انجام شده است.

### 3-2- تحلیل المان محدود نیروی رانش در موتور

**جریان مستقیم خطی تخت با آهنربای دائمی**  
مدلی که مطالعه می‌کنیم، موتور خطی تخت با آهنربای دائمی است (شکل 9). در این موتور سیم‌پیچها حول هسته فرومغناطیسی پیچیده شده و هر یک به صورت مجرا دارای اتصال انتهایی بوده و به یک جزء رسانا بر روی فیبر مدار

با صرفنظر کردن از خطای ناشی از حذف جزء صحیح داریم:

$$\begin{aligned} F &= \left( \frac{W_c g}{2A_c} JA_c \right) \frac{W_M}{W_c} 4l_M \frac{B_r}{1 + \frac{g}{\mu_0 h_M} \cdot \frac{B_r}{H_c}} \\ &= \frac{2Jl_M W_M B_r}{1 + \frac{g}{\mu_0 h_M} \cdot \frac{B_r}{H_c}} g = \frac{2Jl_M W_M h_M B_r}{\frac{h_M}{g} + \frac{B_r}{\mu_0 H_c}} \\ &= \frac{2JV_M B_r}{\frac{h_M}{g} + \frac{B_r}{\mu_0 H_c}} \end{aligned} \quad (15)$$

با توجه به معادله (15) ملاحظه می‌شود که مقدار نیروی رانش استاتیکی در موتور در حالت ایدئال و در چگالی شار یکسان، مستقل از نوع سیم‌پیچ است. برای آهنربای مشخص و چگالی جریان معین، با تغییر فاصله هوایی می‌توان نیروی رانش را تغییر داد. با توجه به معادله فوق نیروی رانش موتور با افزایش فاصله هوایی افزایش یافته و دارای مقدار مجانبی به صورت زیر است:

$$F_{MAX} = \lim_{g \rightarrow \infty} \left( \frac{2JV_M B_r}{\frac{h_M}{g} + \frac{B_r}{\mu_0 H_c}} \right) = 2\mu_0 H_c JV_M \quad (16)$$

یعنی در ایدئال‌ترین حالت برای آهنربای معین، همواره نیروی رانش موتور کمتر از مقدار به دست آمده از معادله (16) است. مقدار حدی نیروی رانش موتور را با افزایش ضخامت آهنربا و با فرض ثابت بودن فاصله هوایی به صورت زیر می‌توان نوشت:

$$F_{MAX} = \lim_{h_M \rightarrow \infty} \left( \frac{2JV_M B_r}{\frac{h_M}{g} + \frac{B_r}{\mu_0 H_c}} \right) = 2gJB_r w_M l_M \quad (17)$$

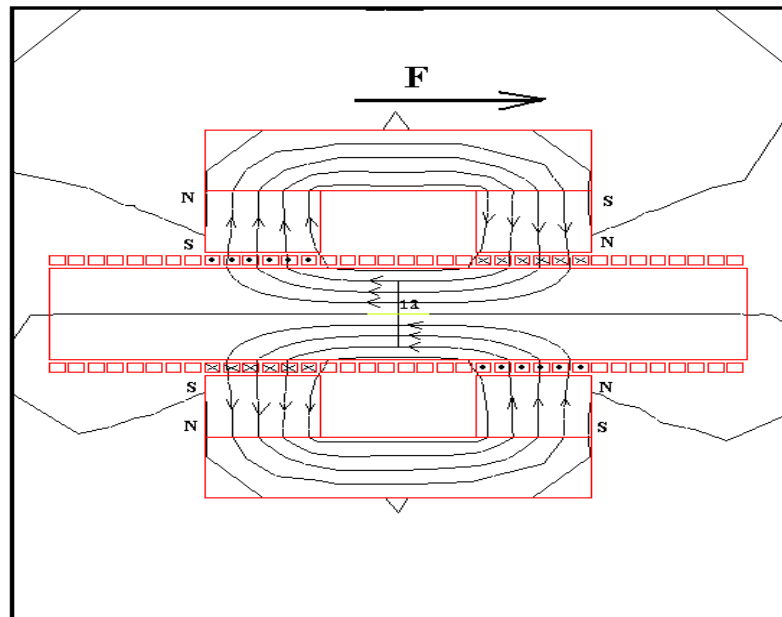
در طراحی موتور اگر نیروی رانش مشخصی مدنظر باشد، با توجه به معادله (18) فاصله هوایی را بر حسب نیروی رانش استاتیکی می‌توان محاسبه کرد:

$$g = \frac{h_M}{B_r \left[ \frac{2JV_M}{F} - \frac{1}{\mu_0 H_c} \right]} \quad (18)$$

با توجه به مشخصات هندسی و الکترومغناطیسی آهنربای موجود، برای رسیدن به نیروی رانش استاتیکی

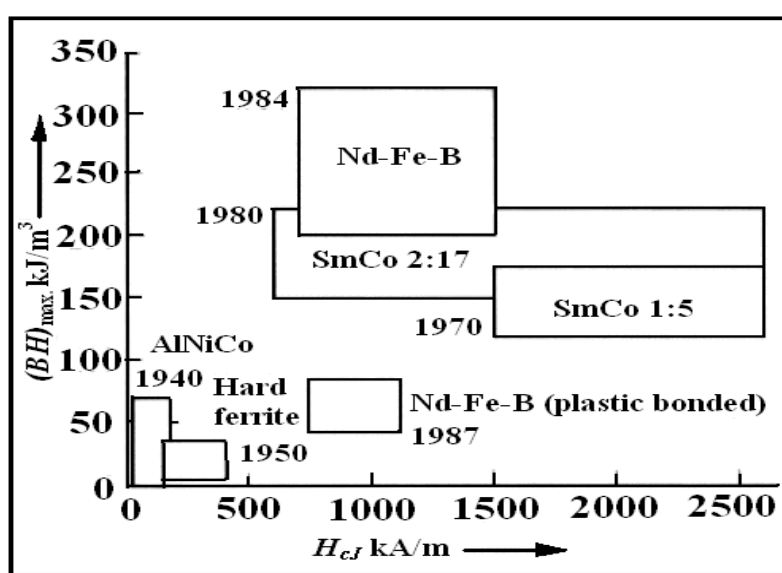
1. Ansys  
2. Lorentz Force  
3. Maxwell Stress Tensor  
4. Virtual Work

نیرو تولید می شود. در این حالت با توجه به جهت شار مغناطیسی و جریان سیم پیچها، نیروی وارد شده از طرف میدان در رساناها همجهت بوده و یکدیگر را تقویت می کنند. از آنجاکه سیم پیچها ثابت هستند، جهت حرکت در خلاف جهت نیروی وارد شده بر رساناها خواهد بود (شکل 11).



شکل 11 جهت شار مغناطیسی، جریان و نیروی حاصل

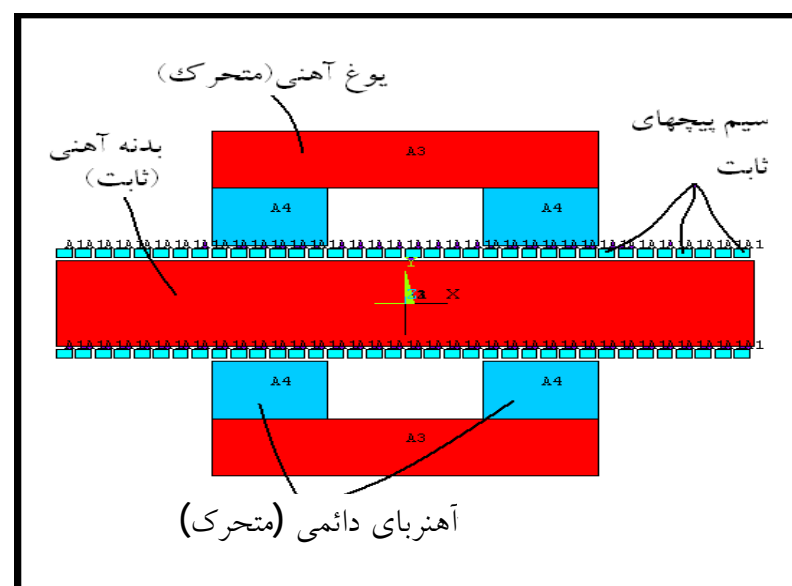
برای حل مسئله باید مشخصات مواد به کار رفته در موتور و همچنین شرایط مرزی برای نرم افزار تعريف شود. آهنربای دائمی از نوع عناصر کمیاب خاکی<sup>1</sup> انتخاب شده که قوی ترین آهنربا در حال حاضر است (شکل 12) [9].



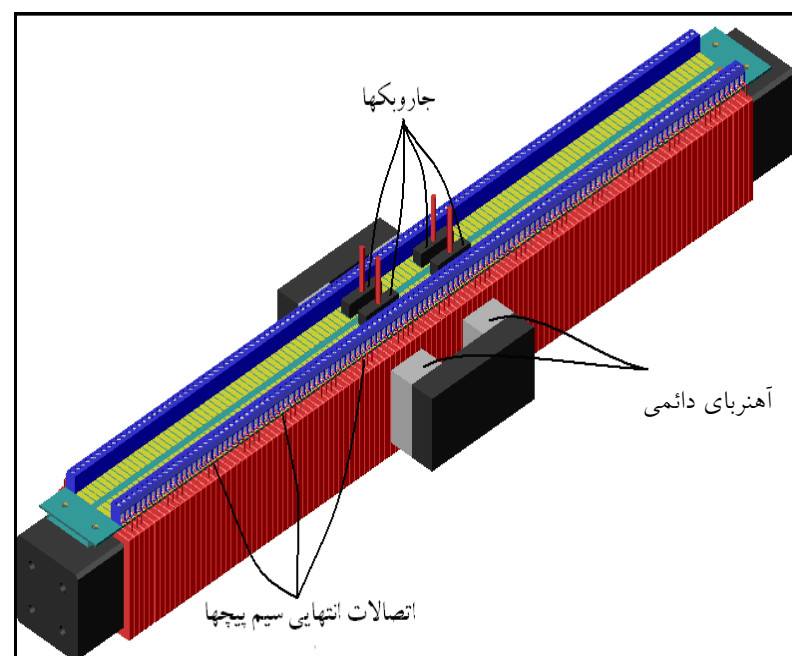
شکل 12 مقایسه آهنرباهای مختلف از نظر انرژی بیشینه

1. NdFeB

چاپی متصل می شود. فیبر مدار چاپی - که دارای یک لایه مس به صورت بخشایی مجزا از یکدیگر است - واسطه سیم پیچهای ثابت و جاروبکهای متحرک حامل جریان است. در این موتور از چهار آهنربای دائم بلوکی شکل از نوع عناصر کمیاب خاکی استفاده شده که روی بلوک آهنی نصب شده است. بلوکهای آهنی، آهنرباهای دائم و جاروبکها اجزای متحرک موتور را تشکیل می دهند (شکل 10).



شکل 9 طرحواره دو بعدی از طرح ارائه شده



شکل 10 موتور جریان مستقیم خطی تخت با آهنربای دائمی

در این طرح با استفاده از مواد فرومغناطیسی، شار مغناطیسی آهنربا به مکان مناسب، محل رسانا هدایت شده و در نتیجه اثر این میدان بر رسانای حامل جریان

ماکسول و روش کار مجازی به وسیله نرم افزار انسیس به ترتیب برابر  $47/8$ ,  $51/69$  و  $47/8$  نیوتن است. در این طرح ابعاد قسمت متحرک  $100*100*120\text{mm}^3$  و ابعاد کلی موتور  $700*120*120\text{mm}^3$  است.

## 4- بحث و نتیجه‌گیری

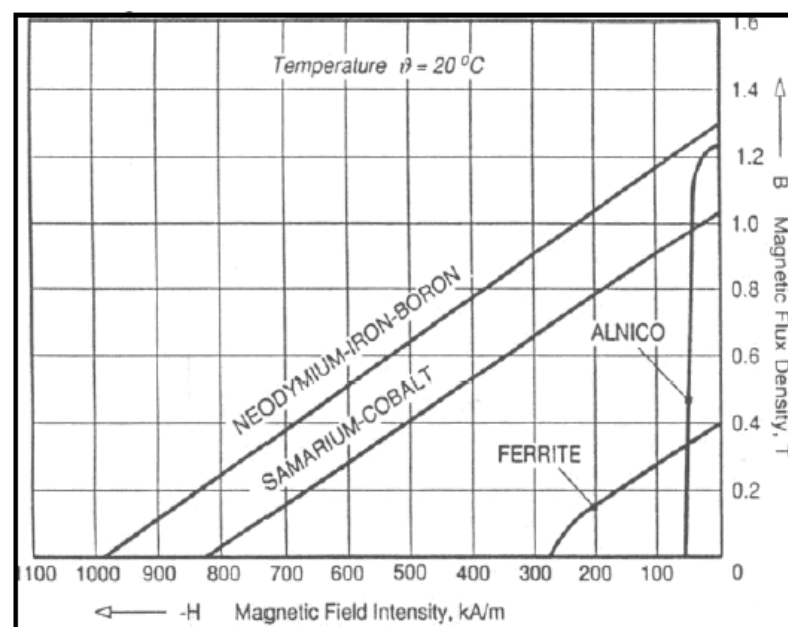
### 4-1- نتایج به دست آمده از آزمایش

پس از ساخت موتور خطی، آزمایش‌هایی برای اندازه‌گیری نیروی رانش استاتیکی در موتور خطی انجام شد. از آنچاکه ابعاد و اندازه‌های هندسی ثابت بوده و تنها یک نمونه از آن ساخته شده، تنها عاملی که می‌توان تغییرات نیروی رانش استاتیکی را برای تغییرات آن بررسی کرد، چگالی جریان یا جریان ورودی موتور است. جریان سیم پیچ از عقربه منبع تغذیه خوانده شده و نیروی رانش استاتیکی به وسیله لودسل<sup>2</sup> اندازه‌گیری می‌شود. لودسل وسیله‌ای دقیق برای اندازه‌گیری نیرو بوده و کارکرد آن بر تغییر مقاومت الکتریکی مدار آن - شامل مقاومتهای حساس به تغییر طول - استوار است. خروجی لودسل ولتاژی است که با تغییر نیروی اعمال شده بر آن به صورت خطی تغییر می‌کند. آزمایشها برای دو حالت سیم پیچ سری و موازی انجام شده است.

### 4-1-1- حالت سیم پیچ سری

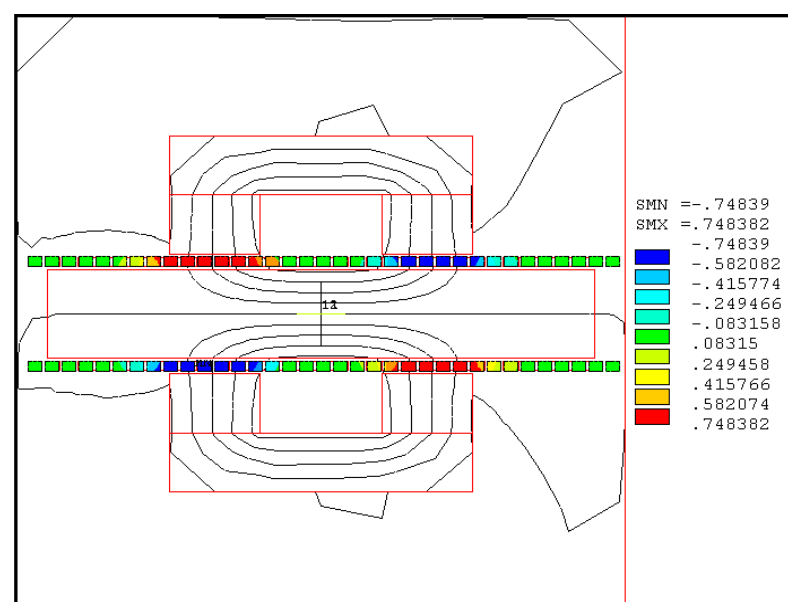
در این حالت سیم پیچهایی که در طول موتور و در حوزه تأثیر میدان مغناطیسی آهنربای دائم قرار دارند، با یکدیگر سری شده و دو سر سیم پیچ حاصل به منبع تغذیه جریان مستقیم متصل می‌شود. در این حالت جاروبکها و صفحه حامل آن از روی موتور باز می‌شود. در حالت سری، ولتاژ مورد نیاز موتور بالا اما جریان نسبتاً کمی مورد نیاز است نتایج حاصل از تغییر نیروی رانش استاتیکی با افزایش جریان منبع تغذیه در این مرحله در شکل 15 مشاهده می‌شود. با رجوع به قانون

اطلاعات مورد نیاز برای حل مسئله از روی منحنی مشخصه<sup>1</sup> مربوط در 20 نقطه استخراج شده و در نرم افزار استفاده شده است (شکل 13) [9].



شکل 13 منحنی مشخصه آهنرباهای مختلف

براساس این طرح دو بعدی، چگالی جریان<sup>2</sup> و اطلاعات مربوط به خواص الکترومغناطیسی مواد و آهنربای دائم، مقدار چگالی شار مغناطیسی (B) در محل سیم حامل جریان به دست می‌آید (شکل 14).



شکل 14 شدت چگالی شار مغناطیسی (B) در محل سیم حامل جریان

نتایج محاسبه نیروی رانش استاتیکی با سه روش نیروی لورنتز مبتنی بر قانون آمپر، روش تنسور تنش

$$F = \frac{2V_M B_r}{\frac{h_M}{g} + \frac{B_r}{\mu_0 H_c}} \cdot \frac{I}{A_c} \Rightarrow \quad (23)$$

$$K_f = \frac{F}{I} = \frac{2V_M B_r}{\frac{h_M}{g} + \frac{B_r}{\mu_0 H_c}} \cdot \frac{1}{A_c}$$

در موتور ساخته شده که از سیم مسی با قطر ۵/۰ میلیمتر، فاصله هوایی ۵ میلیمتر و مواد توصیف شده استفاده شده،  $K_f = 61/1$  نیوتن به ازای یک آمپر جریان به دست می‌آید. میانگین  $K_f$  در روش حل عددی ۴۹/۷ و میانگین مقدار به دست آمده از آزمایش ۵۳/۲ نیوتن به ازای یک آمپر جریان ورودی سیم پیچ است. بخشی از خطاهای مربوط به خطاهای اندازه‌گیری است (شکل ۱۵).

نیروی آمپر، برای هندسه ثابت موتور، نیروی رانش متناسب با جریان سیم پیچ است [۱۰]:

$$F = K_f I \quad (N) \quad (21)$$

نیروی رانش،  $I$  جریان سیم پیچ و  $K_f$  ثابت نیروی رانش به معنای نیروی رانش به ازای واحد جریان است.

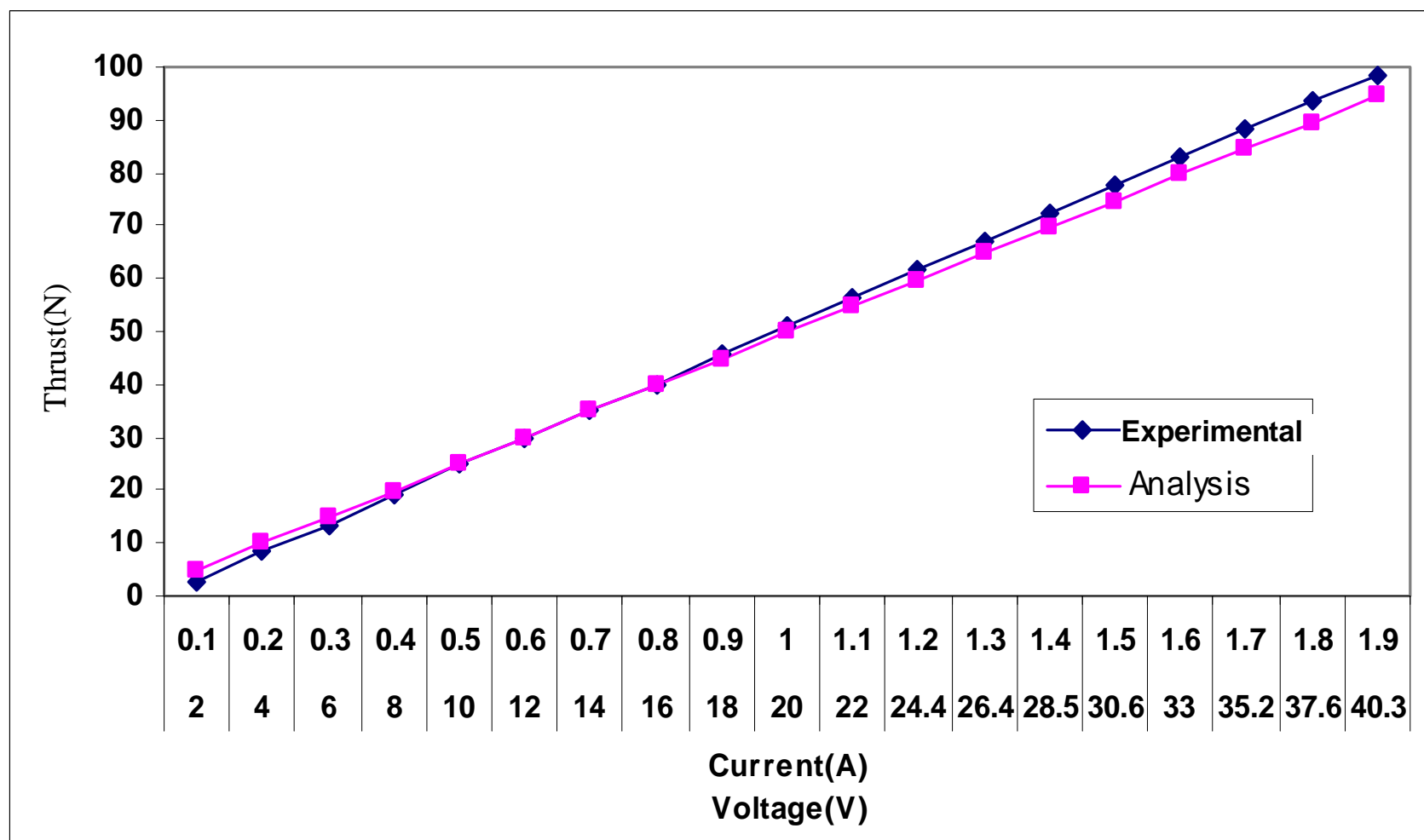
$K_f$  در روش ریاضی به صورت زیر محاسبه می‌شود:

$$F = \frac{2JV_M B_r}{\frac{h_M}{g} + \frac{B_r}{\mu_0 H_c}} \quad (N) \quad (17)$$

در حالت سری داریم:  $I = JA_c \Rightarrow J = \frac{I}{A_c}$

$$I = JA_c \Rightarrow J = \frac{I}{A_c} \quad (22)$$

بنابر این:

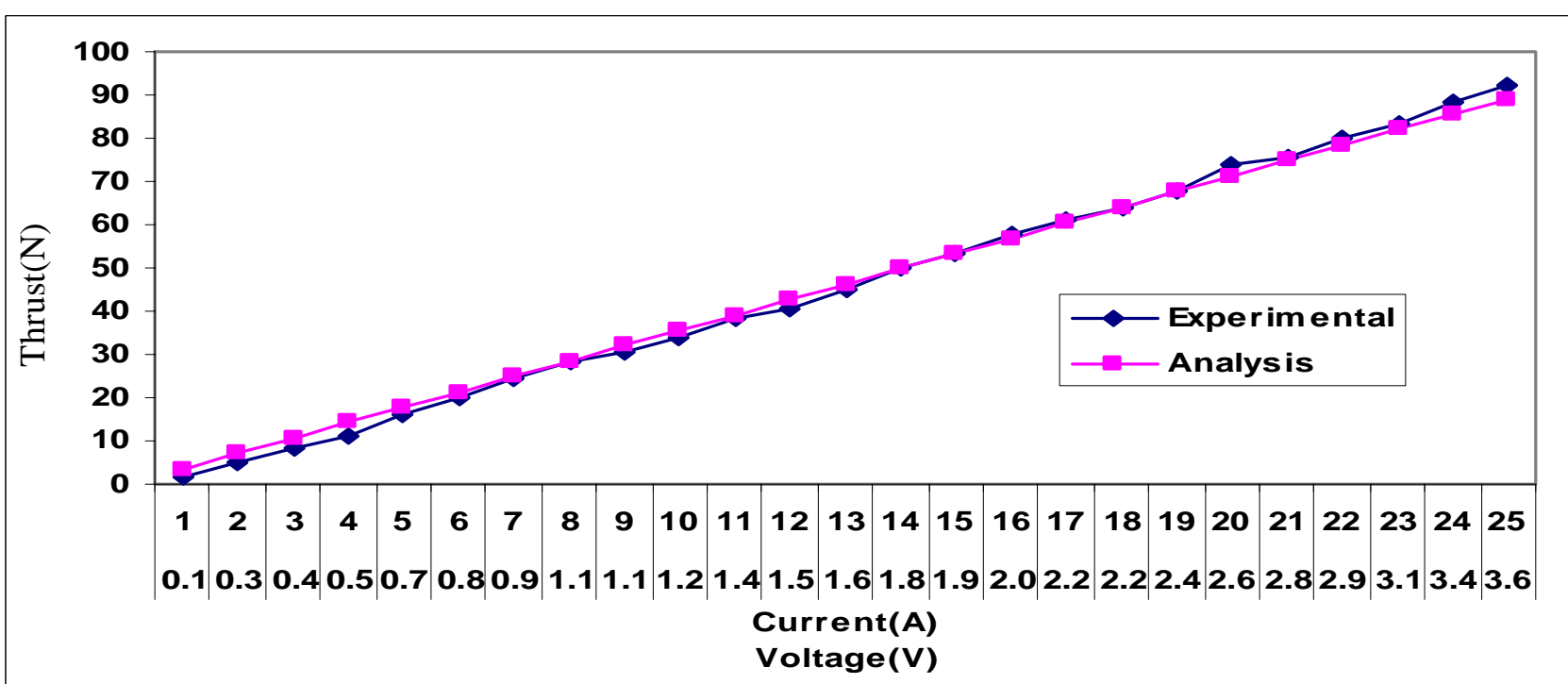


شکل ۱۵ نتایج تئوری و تجربی تغییر نیروی رانش استاتیکی با تغییر جریان (ولتاژ) در حالت سری

#### ۱-۲-۲-۱-۴- حالت سیم پیچ موازی

موازی، ولتاژ مورد نیاز موتور پایین بوده اما جریان بسیار بالایی مورد نیاز است. نتایج حاصل از تغییر نیروی رانش استاتیکی با افزایش جریان منبع تغذیه در این مرحله در شکل ۱۶ مشاهده می‌شود.

در این حالت سیم پیچهایی که در طول موتور و در حوزه تأثیر میدان مغناطیسی آهنربای دائم قرار دارند، با یکدیگر به صورت موازی قرار گرفته و مجموعه سیم پیچها به وسیله جاروبکها تغذیه می‌شود. در حالت



شکل ۱۶ نتایج تئوری و تجربی تغییر نیروی رانش استاتیکی با تغییر جریان در حالت موازی

به مشخصات موتورهای مطالعه شده در دانشگاه والز کالج کاردیف انگلستان که در جدول ۱ آمده می‌توان ملاحظه کرد که نتایج موتور خطی ساخته شده در حالت سیم‌پیچ موازی را می‌توان با نتایج موتور شماره ۲ (قطر ۱۳/۲ و طول متحرک ۱۲ سانتیمتر) در تحقیق فوق مقایسه کرد. برای جریان ۵۰ آمپر موتور شماره دو در بهترین حالت (فاصله هوایی ۴ میلیمتر) دارای نیروی رانش استاتیکی ۳۴/۵ نیوتون است. نتایج به دست آمده از این کار نیز در شکل ۱۷ نشان داده شده است [2].

در حالت موازی رابطه جریان و چگالی جریان با توجه به معادلات به صورت به زیر به دست می‌آید:

$$n = \frac{W_M}{W_c} \quad (13)$$

$$I_{tot}|_P = 2nI_c \quad (24)$$

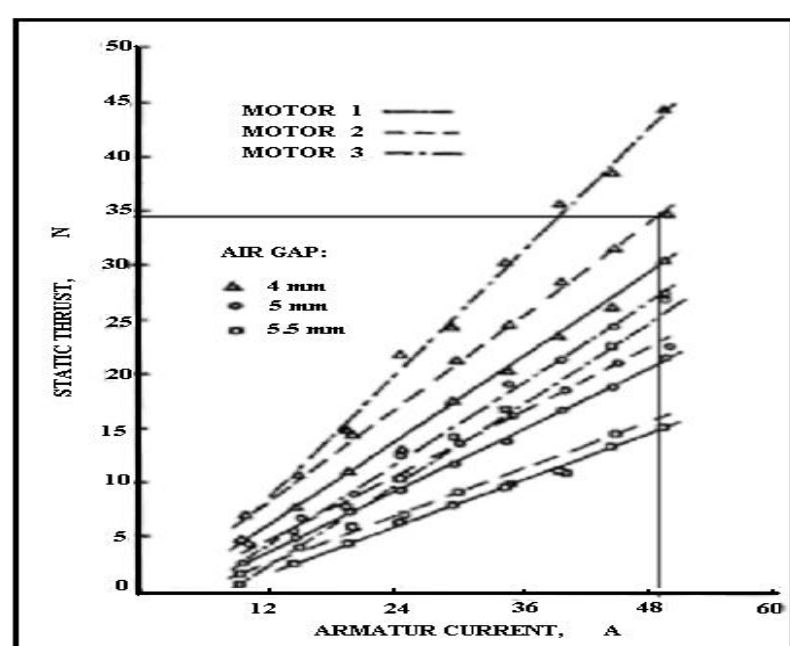
$$J = \frac{I}{2nA_c} = \frac{IW_c}{2WMA_c} \quad (25)$$

و بدین ترتیب:

$$F = \frac{2V_M B_r}{h_M + \frac{B_r}{\mu_0 H_c}} \cdot \frac{W_c}{2WMA_c} I \Rightarrow \quad (26)$$

$$K_f = \frac{F}{I} = \frac{2V_M B_r}{h_M + \frac{B_r}{\mu_0 H_c}} \cdot \frac{W_c}{2WMA_c}$$

در موتور ساخته شده که از سیم مسی با مقطع ۰/۵ میلیمتر، سیم‌پیچ با ضخامت ۵ میلیمتر و فاصله هوایی ۵ میلیمتر و مواد توصیف شده استفاده شده،  $K_f$  با استفاده از روابط ریاضی برابر ۵/۱ نیوتون بهازای یک آمپر جریان به دست می‌آید. میانگین  $K_f$  در روش حل عددی ۳/۶ و میانگین مقدار به دست آمده از آزمایش ۳/۸ نیوتون بهازای یک آمپر جریان ورودی سیم‌پیچ است.



شکل ۱۷ نتایج تغییر نیروی رانش استاتیکی با تغییر جریان در موتور جریان مستقیم با آهنربای عناصر کمیاب خاکی

2-4- مقایسه موتور خطی ساخته شده با منابع دیگر  
قسمت متحرک موتور ساخته شده دارای طول متحرک ۱۲ سانتیمتر، عرض ۱۵ و ارتفاع ۱۰ سانتیمتر است. با توجه

این شرکت که از نظر اندازه تقریباً قابل مقایسه با موتور ساخته شده است مدل LMBR06-48 است که طول، عرض و ارتفاع قسمت متحرک آن به ترتیب برابر ۱۱/۱ ۱۲ و ۴/۵ سانتیمتر است. ثابت نیروی رانش استاتیکی این موتور با توجه به کاتالوگ سازنده برابر ۲۶/۴ نیوتون بر آمپر است [11].

یکی از محصولات شرکت امریکایی H2W تکنولوژی نیز موتور خطی جریان مستقیم است که آن را در اندازه های مختلفی عرضه می کند. مدل BRA-XXX-127 از این گروه محصولات، نوعی موتور خطی جریان مستقیم با جاروبک است که ابعاد طول، عرض و ارتفاع ۱۱/۱، ۱۲/۷ و ۴/۲ بوده و ثابت نیروی رانش استاتیکی آن برابر ۲۸/۵ نیوتون بر آمپر است [12].

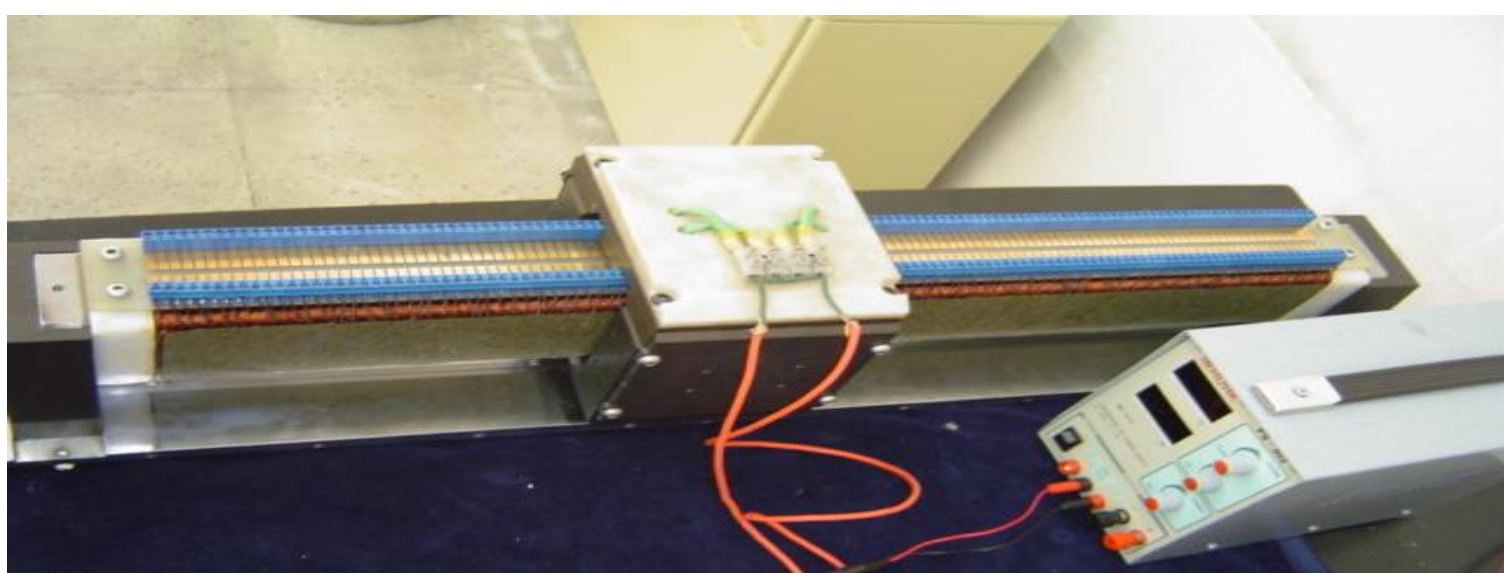
موتور ساخته شده نیز با ابعاد ۱۲، ۱۵ و ۱۰ سانتیمتر دارای ثابت نیروی رانش استاتیکی ۵۳/۲ نیوتون بر آمپر با توجه به میانگین مقادیر به دست آمده از آزمایش است. با درنظر گرفتن ابعاد و مقادیر ثابت نیروی رانش استاتیکی بالا می توان گفت که موتور ساخته شده، از نظر ایجاد نیروی رانش استاتیکی مورد نیاز با موارد یاد شده قابل رقابت است. البته با تکیه بر تجرب ساخت نمونه اول می توان همین نیرو را در ابعاد کمتری نیز به دست آورد. در شکل ۱۸ موتور خطی ساخته شده در این تحقیق نشان داده شده است.

این مقدار برای موتور ساخته شده از برونویابی نتایج تجربی، برابر ۱۹۰ نیوتون و با روش حل عددی برابر ۱۸۰ نیوتون به دست می آید. وزن بخش متحرک موتور ساخته شده برابر ۵/۶۴۰ کیلوگرم است. برای مقایسه بهتر می توان نسبت نیروی رانش به جرم متحرک را مورد توجه قرار داد. این نسبت در جریان ۵۰ آمپر برای موتورهای شماره ۱، ۲ و ۳ در بهترین حالت به ترتیب برابر ۱۱/۶، ۱۲/۵ و ۹/۲ نیوتون به ازای واحد جرم است. این نسبت برای موتور خطی جریان مستقیم ساخته شده در جریان ۵۰ نیوتون، از برونویابی نتایج تجربی، برابر ۳۳/۷ و با روش حل عددی برابر ۳۲ نیوتون به ازای واحد جرم به دست می آید.

البته این نکته را نباید از نظر دور داشت که برای هندسه ثابت، با کوچک انتخاب کردن قطر سیم و افزایش دور سیم پیچ می توان ثابت نیروی رانش را افزایش داد که این موجب افزایش مقاومت سیم پیچ و در نتیجه افزایش توان اتلافی در موتور خواهد شد.

امروز با گسترش روزافزون استفاده از موتورهای خطی، در نقاط مختلف جهان شرکتهايی به تولید تجاری و عرضه این موتورها پرداخته اند.

شرکت بالدور<sup>۱</sup> که یکی از تولیدکنندگان معتبر ماشینهای الکتریکی است در سطح وسیعی به تولید و عرضه موتورهای خطی می پردازد. موتور خطی جریان مستقیم ساخت



شکل ۱۸ موتور خطی ساخته شده

1. Baldor

## 5- منابع

- پایان نامه کارشناسی ارشد؛ دانشگاه صنعتی امیرکبیر؛  
دانشکده مهندسی مکانیک؛ 1380.
- [6] مهران میرزایی؛ مجتبی میرسلیم؛ «طراحی و ساخت نمونه آزمایشگاهی موتور القایی خطی با کمک روش المان محدود»؛ پایان نامه کارشناسی ارشد؛ دانشگاه صنعتی امیرکبیر؛ دانشکده مهندسی برق؛ 1381.
- [7] سلوون، ج. ر؛ استراون، ا؛ «تحلیل ماشینهای الکتریکی با روش عناصر محدود»؛ مجتبی میرسلیم؛ عارف درودی؛ تهران؛ انتشارات دانشگاه صنعتی امیرکبیر؛ 1380؛ صص. 35-5.
- [8] V. N. Mittle; Arvind Mittal; "Design of Electrical Machines"; Standard Publisher Distributors"; 1996; pp. 78-80.
- [9] J. F. Gieras; "Linear Synchronous Motors"; Prentice-Hall INC.; 2001; pp. 150-155.
- [10] H. Wakiwaka; H. Yajima, S. Senoh; H Yamada; "Simplified Thrust Limit Equation of Linear DC Motor"; IEEE Transactions on Magnetics; Vol. 32, No. 5; 1996; pp. 5073-5075.
- [11] Baldor Electric Company Catalog, www.baldor.com.
- [12] H2W Technologies Brochure, www.h2wtech.com.

- [1] S. A. Nasar; "Linear Electric Motors"; Prentice-Hall INC.; 1987; pp. 5-22.
- [2] F. J. Anayi; A. Basak; "Brushless NdFeB permanent magnet DC linear motors"; Electrical Machines and Drives; Fourth International Conference; 1989; pp. 71 –75.
- [3] Jin Hur; Sang-Baeck Yoon; Dong-Seok Hyun; "Fast and precise position control of linear DC motor for carrier using seek control and neural network"; Electric Machines and Drives Conference Record; 1997; IEEE International; pp. MC3/2.1-MC3/2.3.
- [4] H. Yajima; H. Wakiwaka; S. Senho; "Consideration On High-response Of A Linear DC Motor, Magnetics Conference"; 1997; Digests of INTERMAG'97, IEEE International; pp. BP-14 -BP-14.

[5] مجتبی قدسی؛ محسن بهرامی؛ امیر عبدالله؛ یوسف حجت؛ «طراحی و ساخت موتور خطی پله‌ای»